

# Investigando emparelhamento perfeito em produto cartesiano de grafos

Camila S. Crispim<sup>1</sup>, Cybele T.M. Vinagre<sup>2</sup>  
IME - UFF

<sup>1</sup>camilacrispim@id.uff.br — <sup>2</sup>cybele.vinagre@id.uff.br



## Definições Básicas

(I) Seja  $G$  um grafo simples com  $n$  vértices.

- **Emparelhamento em  $G$ :** é um conjunto  $M$  de arestas de  $G$  tal que nenhum par de elementos de  $M$  possui vértice em comum.
- **Emparelhamento  $M$  satura o vértice  $v$  de  $G$ :** quando existe aresta em  $M$  que seja incidente em  $v$ .
- **Número de emparelhamento de  $G$ ,  $\mu(G)$ :** número de arestas de um emparelhamento que tenha cardinalidade máxima dentre todos os emparelhamentos em  $G$ .
- **Emparelhamento perfeito em  $G$ :** emparelhamento que satura todos os seus vértices. Neste caso,  $n$  é par e  $\mu(G) = \frac{n}{2}$ .
- **Conjunto independente de vértices em  $G$ :** conjunto  $S$  de vértices do grafo  $G$  tal que não existem dois vértices adjacentes do grafo em  $S$ .

(II) Sejam  $G_1, G_2$  grafos com conjuntos de vértices  $V_1$  e  $V_2$ . O **produto cartesiano de  $G_1$  por  $G_2$**  é o grafo  $G_1 \square G_2$  com conjunto de vértices  $V = V_1 \times V_2$  e tal que

$$(u_1, v_1) \sim (u_2, v_2) \text{ em } G_1 \square G_2 \Leftrightarrow$$

$$u_1 \sim u_2 \text{ em } G_1 \text{ e } v_1 = v_2 \text{ ou } u_1 = u_2 \text{ e } v_1 \sim v_2 \text{ em } G_2.$$

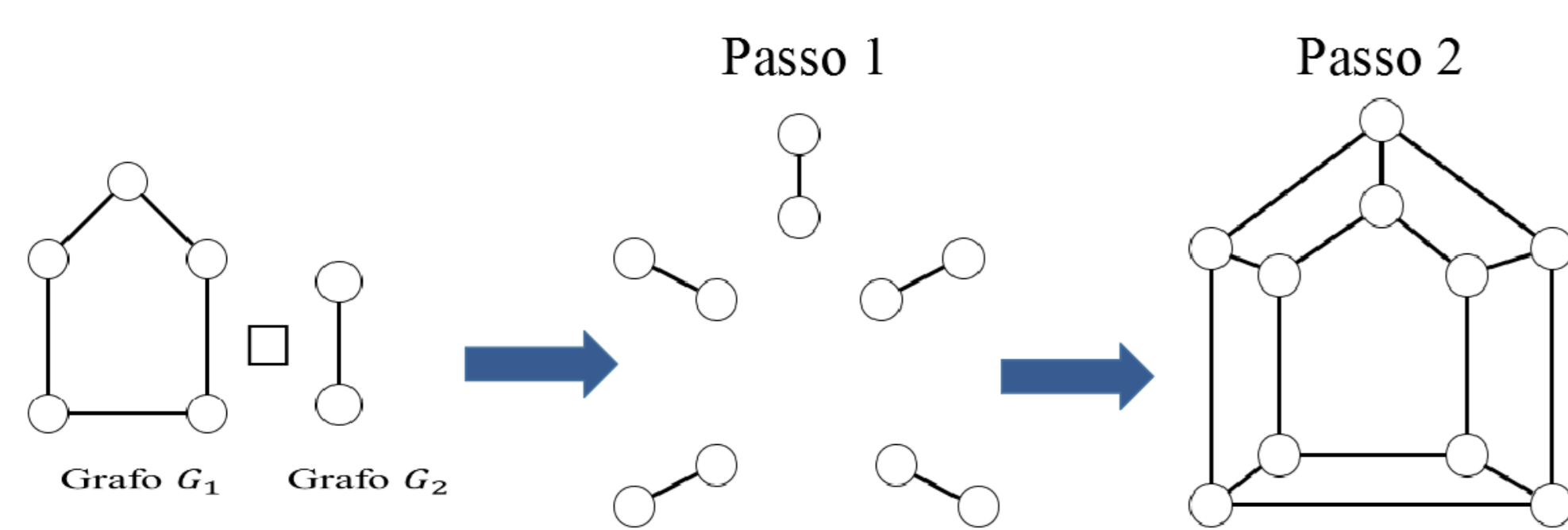


Figura 1: Ilustração de produto cartesiano.

## Resultado:

No que se segue, exhibe-se uma família infinita de grafos  $G$  sem emparelhamento perfeito tal que  $G^2$  possui emparelhamento perfeito. Descreve-se um método para encontrar um emparelhamento em  $G^2$  para um elemento genérico da família.

**Teorema 1.** Para todo inteiro  $k \geq 3$  o grafo  $G_k$ , com  $n = 2k$  vértices constituído por um caminho com  $2k - 4$  vértices e 2 vértices pendentes em cada extremidade, não possui emparelhamento perfeito, mas  $G_k^2 = G_k \square G_k$  possui emparelhamento perfeito.

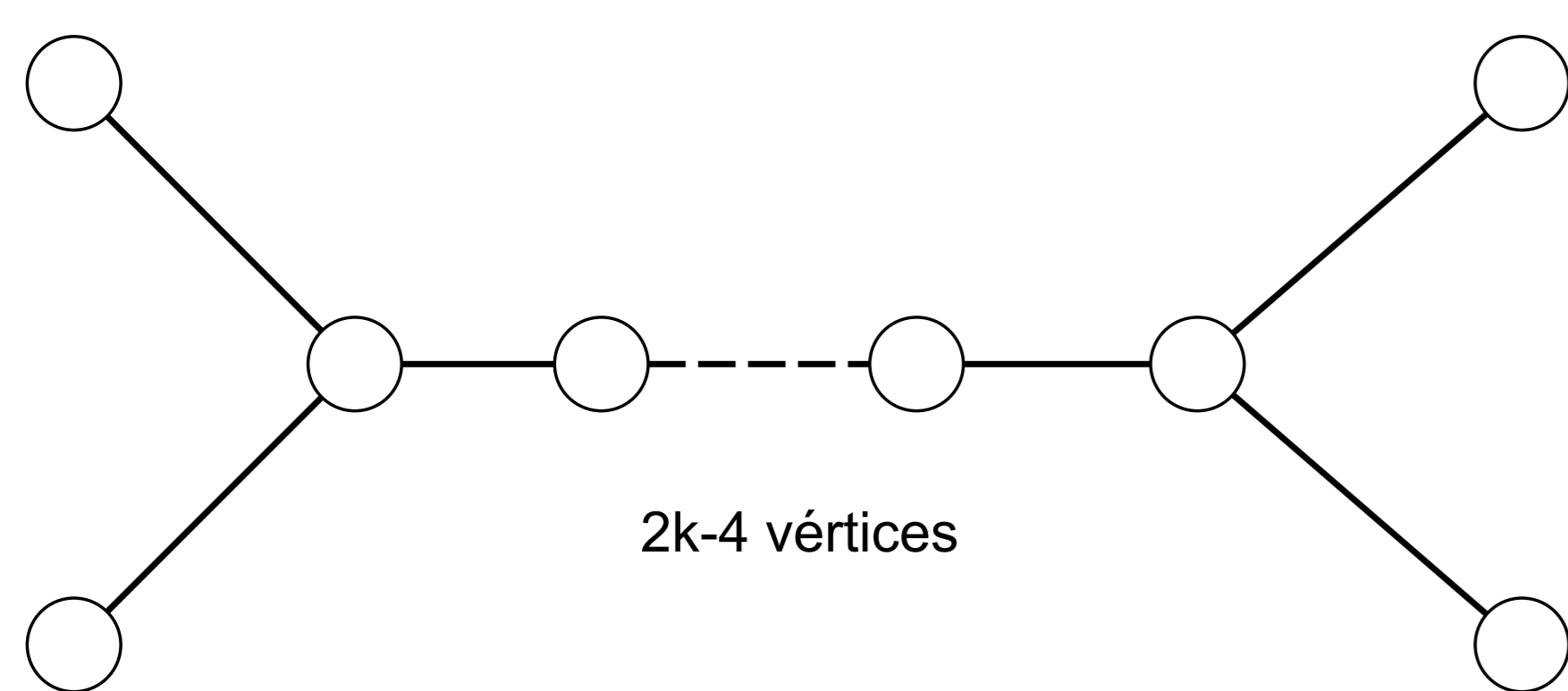


Figura 2: Família de grafos citada acima.

## Demonstração:

Fixe-se  $k > 3$  e  $G_k = G$ , como acima. Verifica-se que  $G$  possui  $\mu = \mu(G) = k - 1 < k = \frac{n}{2}$ , e portanto,  $G$  não possui emparelhamento perfeito.

Para mostrar que  $G^2 = G \square G$  possui emparelhamento perfeito, considera-se um emparelhamento máximo com vértices rotulados como

$$M = \{v_1v_k, v_2v_{k+1}, \dots, v_{k-2}v_{2k-3}, v_{k-1}v_{2k-2}\}$$

em  $G$ , chamado de **emparelhamento máximo inicial**; e também um emparelhamento máximo

$$M' = \{v_kv_{2k-1}, v_{k+1}v_{2k}, \dots, v_{k-2}v_{2k-3}, v_{k-1}v_{2k-2}\},$$

chamado de **emparelhamento máximo secundário**.

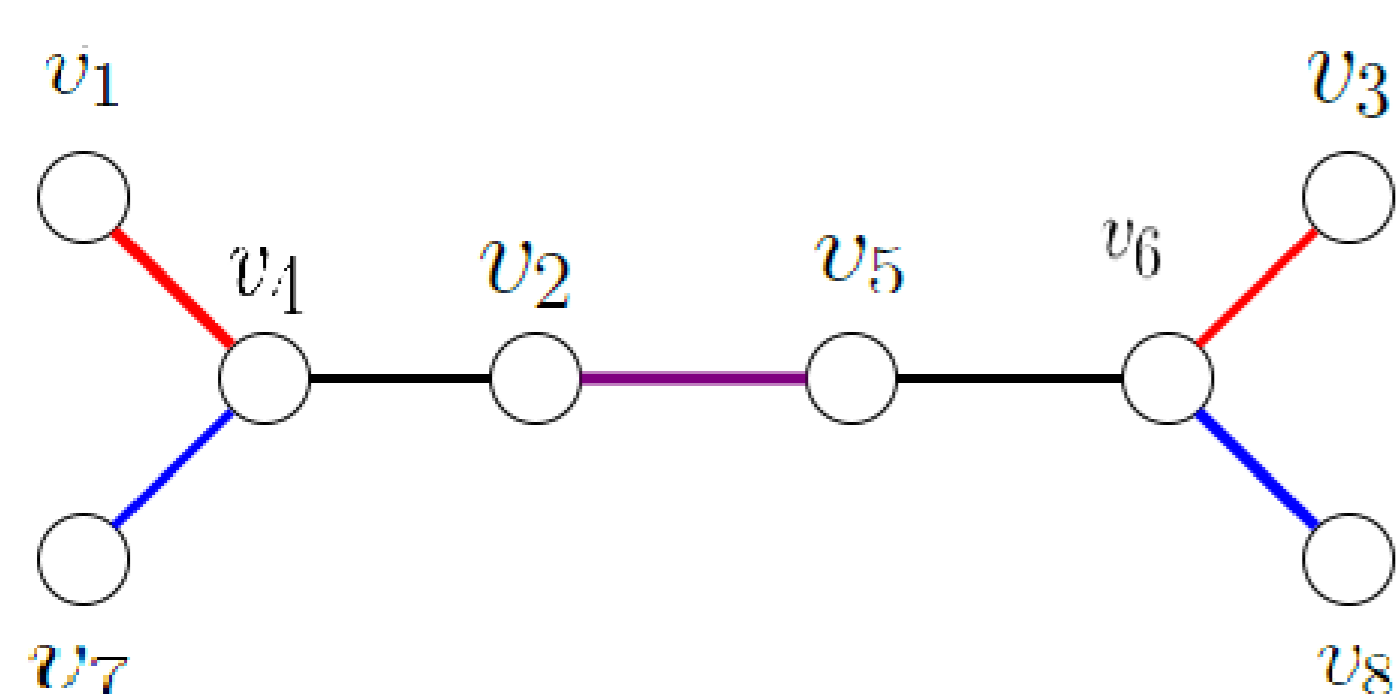


Figura 3: Grafo com a rotulação explicada acima. Em vermelho temos o emparelhamento  $M$  e em azul o  $M'$ . Aqui  $R = \{v_1, v_2, v_3\}$ ,  $T = \{v_7, v_8\}$  e  $Q = \{v_5\}$

Sejam  $R = \{v_1, \dots, v_\mu\}$ ,  $T = \{v_{2k-1}, v_{2k}\}$  e  $Q = \{v_{k+1}, v_{k+2}, \dots, v_{2k-3}\}$ . Verifica-se que  $S = R \cup T$  é um conjunto de vértices independentes de  $G$  com cardinalidade máxima, igual a  $k + 1$ .

Para formar  $G^2$ , para cada vértice  $v_i$  de  $G$ ;  $1 \leq i \leq 2k$ . considera-se uma cópia  $G_i$  de  $G$  cujos vértices serão rotulados  $v_{ij}$ ;  $1 \leq j \leq 2k$  de acordo com a rotulação inicialmente considerada para  $G$ . Depois, efetuam-se as ligações conforme a definição de produto cartesiano.

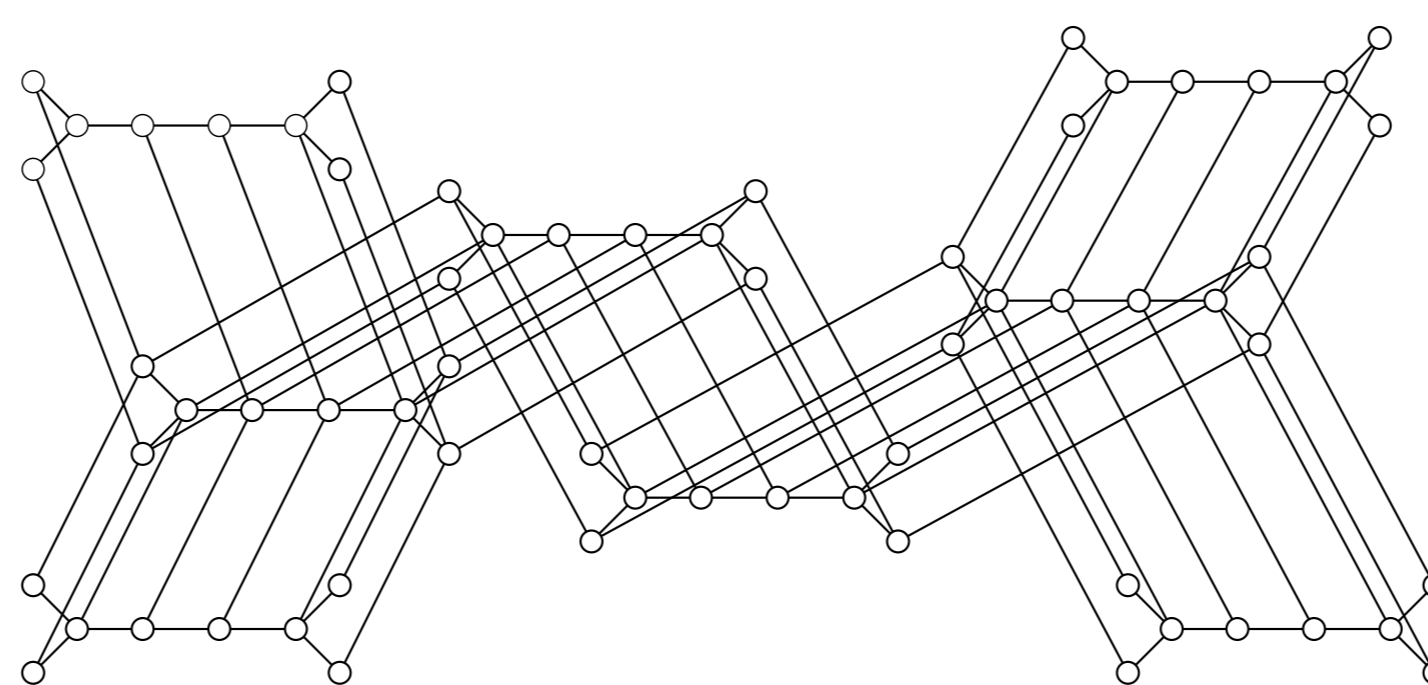


Figura 4:  $G \square G$  para  $n = 8$

**ETAPA 1:** Nas cópias de  $G$  correspondentes aos vértices pertencentes a  $R$  e  $Q$ , selecionam-se arestas correspondentes a  $M$ . Assim, para cada  $i$ ,  $1 \leq i \leq k - 1$ , selecionam-se na cópia  $G_i$  as arestas:

$$v_{(i)(1)}v_{(i)(k)}, v_{(i)(2)}v_{(i)(k+1)}, \dots, v_{(i)(k-1)}v_{(i)(2k-2)}.$$

Para cada  $j$ ,  $k + 1 \leq j \leq 2k - 3$  selecionam-se na cópia  $G_j$  as arestas:

$$v_{(j)(1)}v_{(j)(k)}, v_{(j)(2)}v_{(j)(k+1)}, \dots, v_{(j)(k-1)}v_{(j)(2k-2)}.$$

Assim,  $|R| \cdot |M| + |Q| \cdot |M|$  arestas foram selecionadas na etapa 1, isto é  $\mu(G) \cdot \mu(G) + ((2k-3) - (k-1) + 1) \cdot \mu(G) = (k-1)^2 + (k-3)(k-1) = 2k^2 - 6k + 4$  arestas selecionadas.

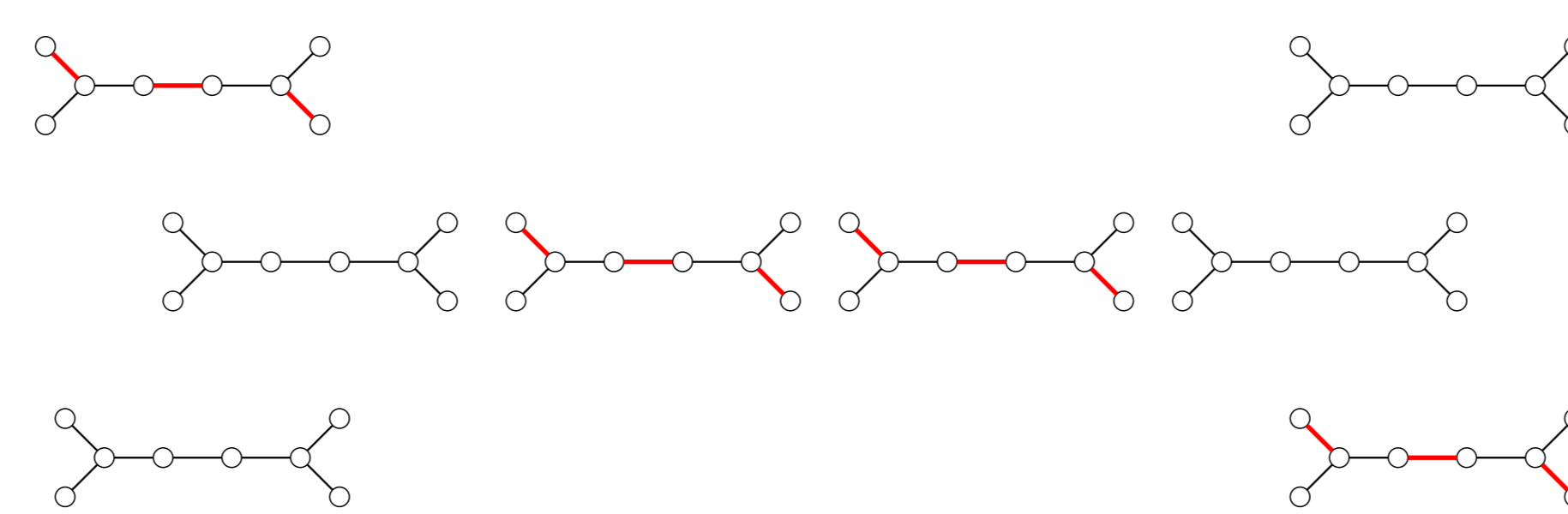


Figura 5: Etapa 1 ilustrada em  $G \square G$  para  $n=8$ .

**ETAPA 2:** Nas cópias correspondentes aos vértices pertencentes a  $T$ , selecionam-se as arestas correspondentes ao  $M'$ . Assim, selecionam-se na cópia  $G_{2k-1}$  as arestas:

$$v_{(2k-1)k}v_{(2k-1)(2k-1)}, v_{(2k-1)(2)}v_{(2k-1)(k+1)}, \dots, v_{(2k-1)(k-2)}v_{(2k-1)(2k-3)}$$

$$v_{(2k-1)(2k-2)}v_{(2k-1)2k}$$

e, na cópia  $G_{2k}$  as arestas:

$$v_{(2k)k}v_{(2k)(2k-1)}, v_{(2k)2}v_{(2k)(k+1)}, \dots, v_{(2k)(k-2)}v_{(2k)(2k-3)},$$

$$v_{(2k)(2k-2)}v_{(2k)2k}$$

Selecionam-se então  $|T| \cdot |M'|$  arestas, isto é,  $2 \cdot \mu(G) = 2(k-1)$  arestas.

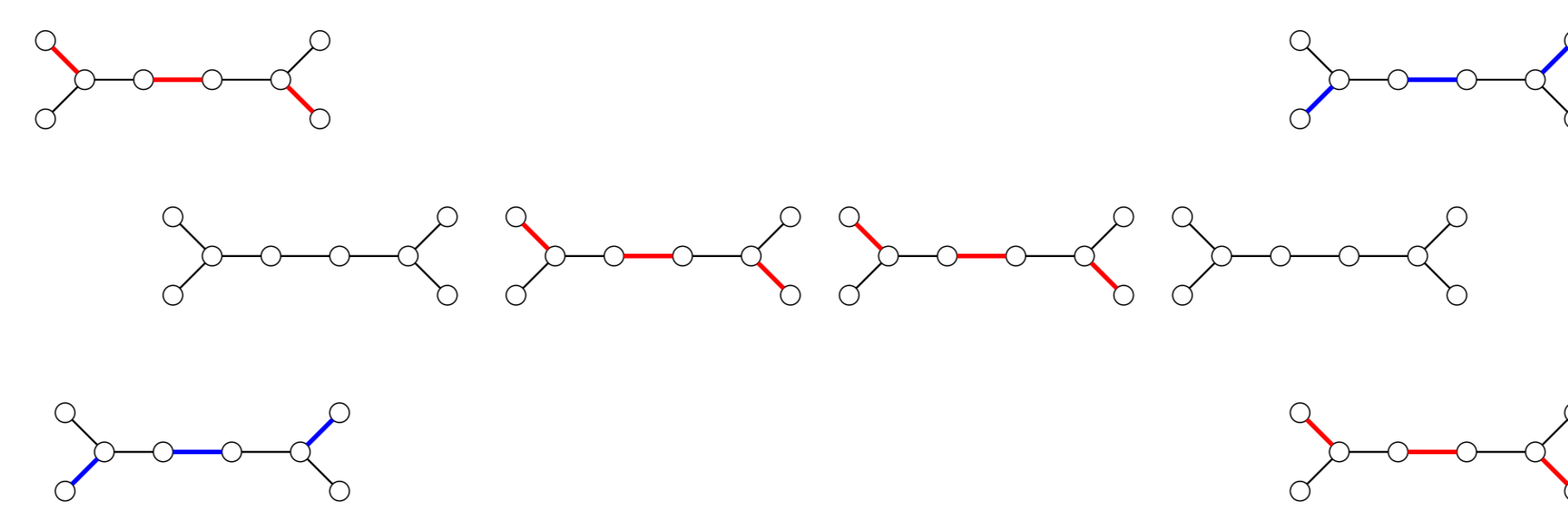


Figura 6: Etapa 2 ilustrada em  $G \square G$  para  $n=8$ .

**ETAPA 3:** Nas cópias dos vértices de  $S = R \cup T$ , saturam-se os vértices que ainda não foram saturados. Para isto, selecionam-se as arestas que ligam aqueles vértices a vértices em outras cópias de  $G$  segundo a definição de  $G^2$ . Assim nas cópias dos vértices  $v_i$  com  $1 \leq i \leq k - 1$ , que são os vértices de  $R$ , selecionam-se as arestas:

$$v_{(i)(2k-1)}v_{(i+1)(2k-1)}, v_{(i)(2k)}v_{(i+1)(2k)}$$

Como  $T = \{v_{2k-1}, v_{2k}\}$ , selecionam-se: na cópia de  $v_{2k-1}$  as arestas

$$v_{(2k-1)(1)}v_{(k)(1)}, v_{(2k-1)(k-1)}v_{(k)(k-1)};$$

e na cópia de  $v_{2k}$ , as arestas:

$$v_{(2k)(1)}v_{(2k-2)(1)}, v_{(2k-1)(k-1)}v_{(2k-2)(k-1)}$$

Desta forma, são selecionadas 2 arestas para cada vértice de  $S$ . Então  $2 \cdot |R \cup T| = 2(|R| + |T|) = 2(k+1) = 2k+2$  arestas são selecionadas na etapa 3.

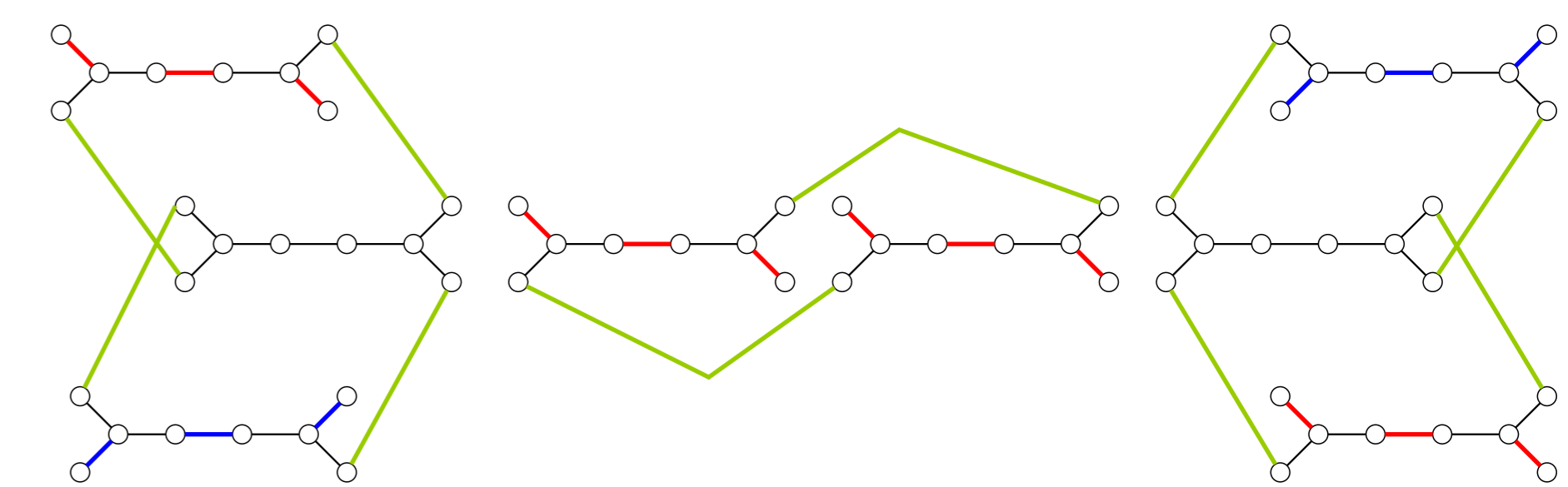


Figura 7: Etapa 3 ilustrada em  $G \square G$  para  $n=8$ .

**ETAPA 4:** Resta selecionar arestas independentes nos caminhos  $P_{2k-4}$  nas cópias dos vértices  $v_k$  e  $v_{k-2}$ . Assim na cópia de cada um destes vértices, seleciona-se um emparelhamento máximo no caminho  $P_{2k-4}$  existente. Assim são selecionadas  $2 \cdot \mu(P_{2k-4}) = 2(k-2) = 2k-4$  arestas.

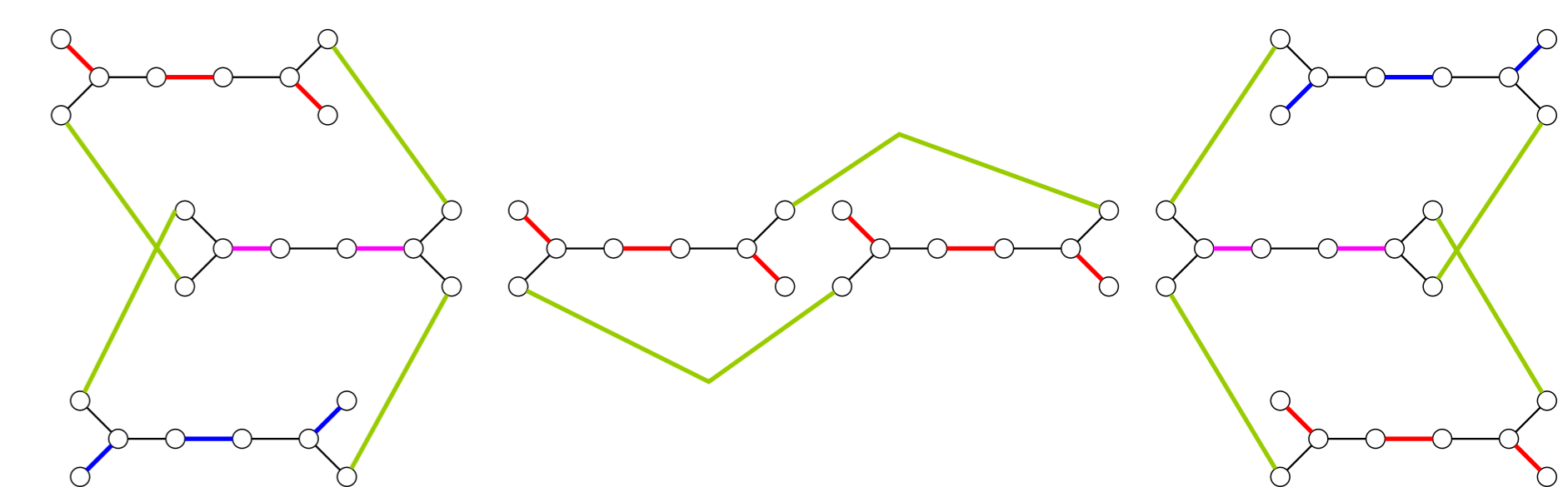


Figura 8: Etapa 4 ilustrada em  $G \square G$  para  $n=8$ .

Portanto, sendo  $n = 2k$ , o total de arestas selecionadas em  $G^2$  é  $(2k^2 - 6k + 4) + (2k + 2) + (2k - 2) + (2k - 4) = 2k^2 = 2(\frac{n}{2})^2 = \frac{n^2}{2}$ .

Assim, exibimos emparelhamento em  $G^2$  com  $\frac{n^2}{2}$  vértices. Daí, como  $G^2$  tem  $n^2$  vértices então  $G^2$  tem emparelhamento perfeito.

Ilustração de  $G^2$  para  $G$  com  $n = 8$  ( $k = 4$ ) com o emparelhamento perfeito selecionado:

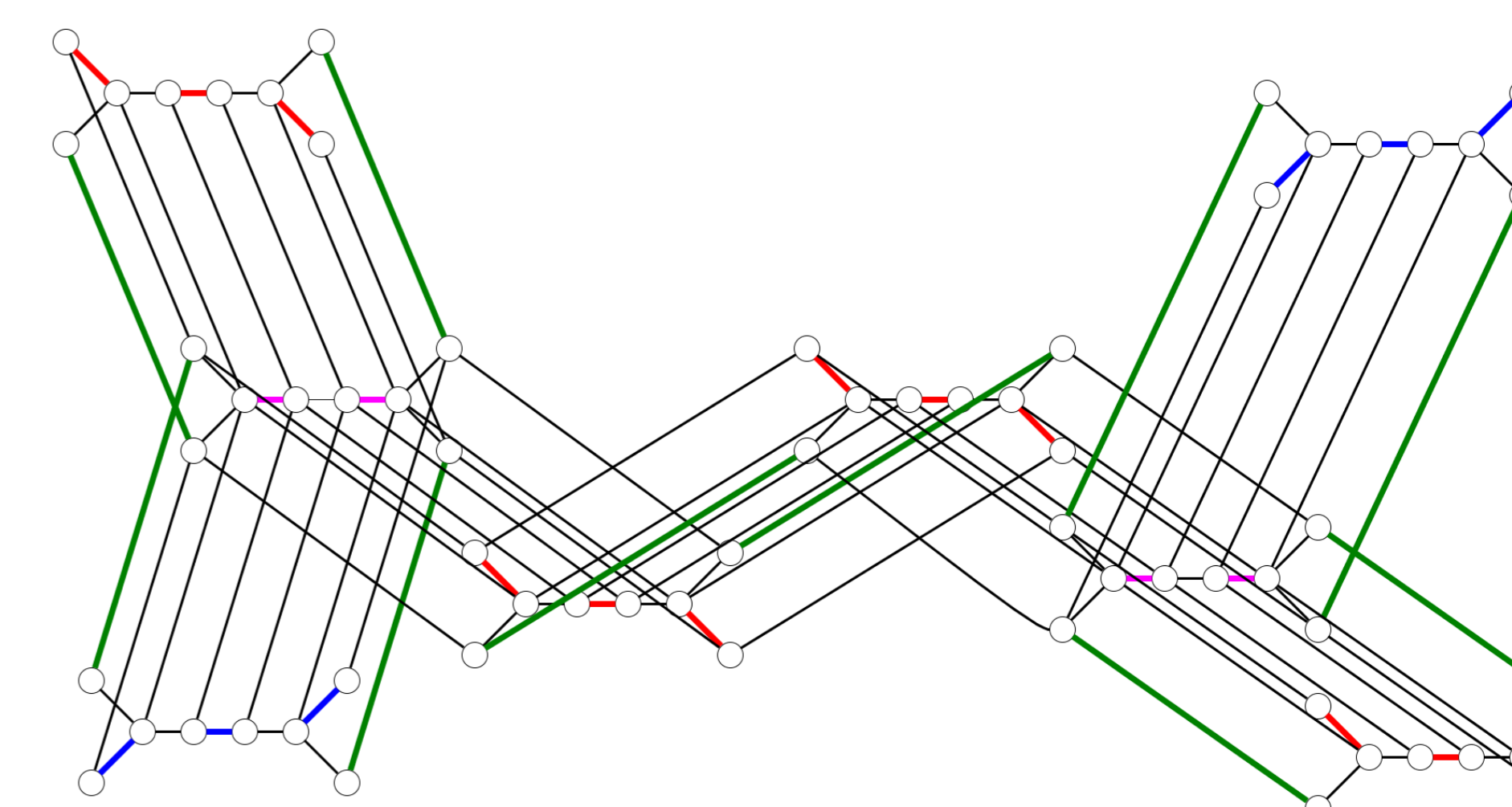


Figura 9: Emparelhamento perfeito selecionado em  $G \square G$  para  $n=8$ .

Para a continuação do trabalho, pretende-se obter outras famílias com as propriedades acima mencionadas e, também investigar uma maneira de garantir a existência de emparelhamento perfeito em seus elementos usando propriedades de matrizes que se associam a grafos.

## Referências

- [1] Almeida, A.R., Propriedades do produto cartesiano de grafos. Tese de Doutorado, ICC/UFF, 2015
- [2] J.A. Bondy, and U.S.R. Murty. *Graph Theory with Applications*. MacMillan, London, 1976.
- [3] Hammack, W. Imrich and S. Klazar. *Product of graphs: Structure and Recognition*. 2nd edition. *Wiley-Interscience Series in Discrete Mathematics and Optimization*. vol. 56, CRC Press, Taylor & Francis Group, Boca Raton, 2011.

Camila S. Crispim agradece o apoio da FAPERJ através da bolsa de IC concedida.

Template por Gerlinde Kettl and Matthias Weiser (tex@kettl.de). License: CC BY-NC-SA 3.0  
<http://creativecommons.org/licenses/by-nc-sa/3.0/>